环境调查

污水中潜在污染物的下渗及其对地下水的污染

王英彦 张维红 汤大友 (北京市环境保护科学研究所)

预测人类活动对地下水资源的生物质量的影响,特别是预测地下水中经过长期痕量累积在人群或生物群落的个体中诱发恶性变化导致体细胞突变的潜在生物性质的改变¹¹¹,是制订人类长期接触污染物容许浓度,和管理地下水资源的重要依据之一。本文用蚕豆根尖细胞微核检测指标,配合水化学分析,通过对小区地下水污染的监测,和野外大型转移模式试验的观察,了解北京市东南郊地下水潜在性生物污染程度,污染物迁移,及该指标用于地下水常规监测的可行性。

一、背景材料

调研的小区是北京东南郊区到通县永乐店镇,

(一)自然条件 永定河和潮白河洪冲积平原, 第四纪沉淀物较深厚并多层次,地表颇多坑塘河渠。 地下水分有四个含水层组,第一含水层组包括上层 滞水和潜水,其下为承压水。

何家坟环保试验场 位于高碑店污水渠流域,

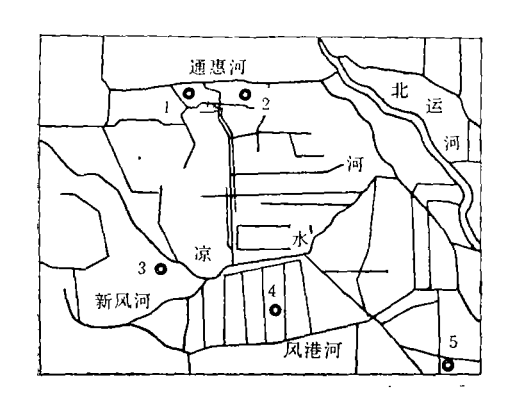


图 1 调研小区地形的示意图 1.高碑店 2.何家坟环保试验场 3.旧宫 4.西田阳 5.永乐店

面积约 22km2.

(二)污染背景 本区地表水中 Cl⁻、SO₂⁻,酚, 额、汞、铬、COD 等不同程度地超过排放标准,特别 是有机污染甚为严重*。 重污的半壁店等明沟及中 污的通惠河中段,和通惠河北干渠流经小区带来环 境污染。历时二十多年的污灌带来更重的污染。高 碑店一带大量固体污泥,逐年积成另一污染源。

(三)方法 检测技术阅文献[2,3]. 水样自现场采回后,不预处理,低温存放,24 小时内测完.

二、结果和讨论

- (一) 污水人渗过程中潜在危害性污染物的 移
 - 1.污染物垂直人渗的迁移
- (1)污染物垂直人渗的监测 试验场的污水稳定塘内,设一组不同深度的取样多孔杯(图 2 和表 1)

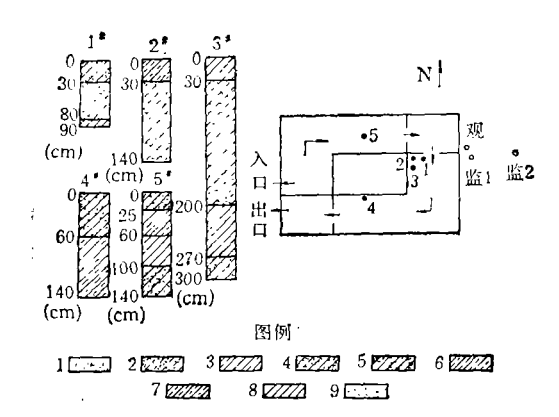


图 2 污水稳定塘地层剖面及多孔杯平面布置

* 王健民等 十年科研成果和论文选编(1973-1982), 北京市环境保护科研所, IV, 43-46页, 1983年.

表: 污水垂直人渗的监测

类 别	稳 定癌		}		稳定	塘	多 孔	杯			
编号	一 個足派				2						
时间 (h)	2 4 8		2	4	8		2	4	8		
VM N 5%0	9.0 12.9 13.	4	11.8	13.	6 9.4		17.	4 18.6	9.	4	
Cl- (mg/L)	171			- 		432					
SO1 (mg/L)	58			364		}	297				
总硬度(德度) HCO; (mg/L)	299		42.4 306				39.2 350				
离子总量 (mg/L)	755		1767				1577				
美 別	稿	定	塘 多 孑	し 杯	;			Zil	M f	===== A	
编号	3		4		}	5				蒸水)	
时间 (h)	2 4 8	2	4 8	,	2	4	8	2	4	8	
VM N 500	14.2 21.6 10.0	10.0	14.2 7.	6	12.6	19.8	15.2	1.4	3.2	4.4	
Cl- (mg/L)	441		326 347			347	_				
$SO_4^{2-} (mg/L)$	219		159 217			217			-		
总硬度(德度)	50.9		38.6			33.8					
$HCO_3^- (mg/L)$	492		553	436				_			
离子总量 (mg/L)	1606	1606				1433 —					

由表 1 可知,设于 2 号塘的多孔杯 1、2 和 3 的渗水 经三种时间染毒后,蚕豆根尖细胞微核率(VMN%), 高于进污水的1号塘的杯5和三级处理的3号塘的 杯 4, 与串联三塘中塘 2 水样的 VMN‰ 高于塘 1 和塘3的次序[4]相应。塘2水样含致突变物浓度 高,及多孔杯与塘间有动态的水和污染物交渗,所以 杯1、2和3的值高于杯5,必然更高于杯4。 在深 度相同, 土层结构不同的三种多孔杯中, 杯2的 VMN,‰ 高于杯 5 和杯 4,显示浓度影响为主,而与 上层构成无关. 塘 2 的多孔杯 1、2 和 3 距离塘底深 度分別为0.9,1.4和3.0m,属上层滞水-潜水,以 4 小时染毒组为例,随孔的浓度, VMN, ‰ 增加, 三 孔与相同浓度的塘水交渗因深度有别而程度不一, 使十壤溶解物被稀释,滞留孔中的浓度不同。杯1 相对地被塘水稀释的程度高,而怀3因深不易稀释, 滞留浓度偏高,因此杯 3 的 VMN,‰ 大于杯 1 和杯 2. 坑塘污水在上层滞水-潜水中垂直入渗时,潜在 性污染物的迁移,数量与塘水内该类污染物(包括土 壤溶解部分) 浓度和深度有关,与土层结构无关。 Cl-、SO;-、总硬度、HCO;、离子总量(M值)等 水化学成分均大于稳定塘水样的值,支持潜在性污 染物垂直入渗的观测结果.

(2) 污灌稻田人渗的监测 试验场的水稻田中

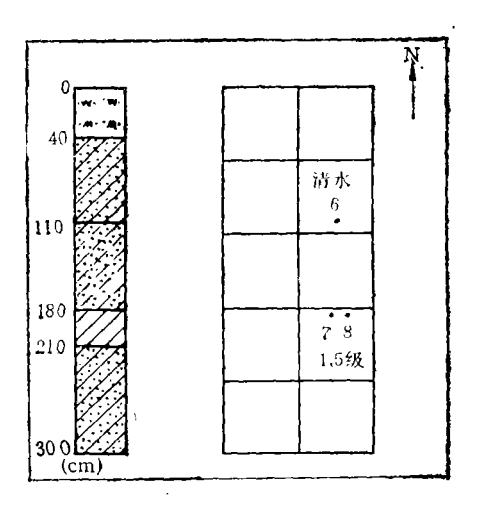


图 3 水稻田地层剖面及多孔杯平面布置

设置 3 个土壤水取样陶瓷多孔杯(图 3). 如表 2 所示,清灌的杯 6 的 VMN,‰,略低于杯 7 和杯 8,说明污水灌溉入渗过程中稍有潜在危害性污染物的迁移。除总硬度外,杯 7 和杯 8 水样的 Cl⁻、SO₄⁻、HCO₅⁻ 和总离子量均明显地高于杯 6,反映类似的倾向。

(3) 污灌稻田土柱试验 扰动土柱试验:该上

±	2	污灌稻田	久石	权垂背	7 1 34	化化化	ł
Æ	Z	污猴稻田	39 AL	か井 E	しへを	多田 1 紀 漢	ł

类 别	污	灌 稻 田 多 孔	杯	对照组		
编号	6	7	8	(双蒸水)		
时间 (h)	2 4 8	2 4 8	2 4 8	2 4 8		
VM N 5 00	16.2 !8.4 —	19.8 21.0 —	19.4 20.4 —	1.4 3.2 4.4		
Cl- (mg/L)	45	17.3	134	_		
$SO_4^{z-} (mg/L)$	63	7.4	113	_		
总硬度(徳度)	21.1	25.4	21.7	-		
$HCO_3^- (mg/L)$	361	388	367	_		
离子总量 (mg/L)	648	896	855			

柱取当地不同种类的土壤,扰动组成单层或多层,按天然容重回填到方形塑料桶里,其底部铺石英砂 薄层,装一个出水孔。共四个柱子,种植水稻(图 4)。使用前先行淋滤,清除土柱内盐类、有机物等杂质,使之保持低水平。柱 3 用清水灌溉,其余均用进塘的 1.5 级污水浇灌。

如表 3 所示,污灌土柱 1、2 和 4 渗水的VMN,‰相近,与1.5 级污水的相比,低 2—3 倍,与清灌柱 3 渗水和对照双蒸水相比略高,说明不同土层结构的

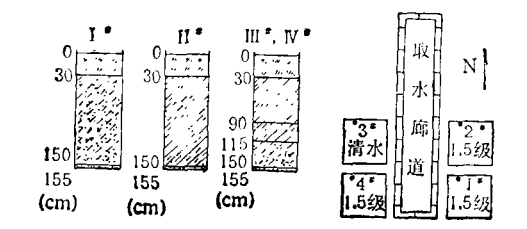


图 4 扰动土柱地层剖面及平面布置

表 3 污灌稻田土柱试验的监测

类 別	稳定塘进水		扰 动	土 柱*		对照组		
编号	(1.5 级污水)	1	2	3	4	(双蒸水)		
时间 (h)	2 4 8	2 4 8	2 4 8	2 4 8	2 4 8	2 4 8		
VMN,%	12.8 17.4 13.2	4.0 4.6 6.6	4.6 5.2 7.6	1.6 2.4 5.0	4.4 6.0 6.8	1.4 3.2 4.4		
Cl- (mg/L)	154.5	240	399	108	289	_		
$SO_4^{\prime-} (mg/L)$	48.8	110	221	136	181	_		
总硬度(德度)	19.1	26.5	33.2	19.3	24.4	-		
HCO_3^- (mg/L)	349.2	558	541	4-1-1	474	_		
M 值 (mg/L)	779	1311	17 42	966	1361	_		

* 土层结构 1 相 粗粒(轻亚砂)匀质单层 2 细粒(亚粘土)匀质单层 3 非均匀(亚砂土及亚粘土) 多层 4 非均匀(亚砂土及亚粘土)多层,

土柱对滤除潜在性污染物的效率近似,去除率较好,渗水中仅存残量,即在土柱中致实变物经沉淀,吸附,氧化或离子交换作用后大部分被藏留。与此相反,渗水中 Cl'、SO₄"、总硬度和M 值等化学成分的浓度比 1.5 级污水的稍高或较偏高。另外,同属细粒匀质单层的清灌柱 3 的浓度小于污灌柱 4,说明不管清水或污水中的 Cl'、SO₄"、总硬度、M 值等都有增加。原因可能是蒸发蒸腾及易溶盐溶解,其次是阴离子交换和氧化还原作用,在污水入渗时以上三种作用可能均发去。而清水入渗时,后两种

作用基本上不发生.再则柱 2 的浓度大于柱 1 和柱 4,在使入渗水化学成分增量上,细粒匀质单层高于粗粒匀质单层和非均匀多层,显示出土层结构类型对水化学成分有一定的影响,而对潜在性生物污染物无影响。因此,两类组分在土柱上的行为不完全对应。

潜在性污染物在土柱中大部分被截留的事实从 另一侧面证明,坑塘和稻田的过程确以垂直迁移为 主,因为土柱的土层是经扰动构成后,没有原土壤诸 如大空穴迁移等较好的迳流条件,以及与以有机物 为主的潜在危害性污染物的物理或化学状态和迁移 动力学过程有关。

2.污染物侧向渗漏中的迁移

(1) 坑塘侧向渗漏 在稳定塘东侧布置两个上层滞水的监测孔1和2,及潜水的观测孔5(图2)。由表4可知,监测孔2和4渗水的VMN,‰相近,

而距离相同,深度不一的监测孔 2 和观测孔 5 的差别较大,说明与离塘的距离无关,而与深度有关,即不存在坑塘侧向渗漏,而存在垂直人渗。CI⁻、SO²一等水化学成分与此不相应,后者是随离塘距岛增加而增加。

(2) 污渠侧向渗漏三个观测孔设置在单惠北干

表 4	污水稳定塘侧饱渗溻的监测	

样 点	污水稳定塘	监测孔 2	监测孔 +	观测孔5			
时间 (h)	2 4 8	2 4 8	2 4 8	2 4 8			
VM N 5,00	9.0 12.9 13.4	19.2 21.2 8.8	20.2 21.6 10.6	32.2 32.6 14.6			
Cl- (mg/L)	171	275	406	282			
$SO_i^{2-} (mg/L)$	58	150	390	176			
总硬度(急度)	17	32	55	6.1			
11CO; (mg/L)	299		-	456			
M 前 (mg/L)	755	1400	1980	1669			

渠东岸,距离分别为 2.50, 6.75 和 11.75 m (图 5)。 按各孔渗水的 VMN,‰ 大小排列,次序是孔 3,孔 2 和孔 1,离北干渠的距离愈远,数值愈大(表 5)。 另外,观测孔 3 的值大于干渠水样,可能是因在孔 3 东边为大片污濯稻田,又挨近淤塞不甚严重的通惠 灌渠,存在垂直入渗所致.

与此相应, SO² 明显较低; HCO; 较高; 总硬度在观测孔 3 明显较高, 其它略高; Cl⁻ 在观测孔 3 和 2 相当, 而高于观测孔 1; M值是观测孔 3 高, 其余差别很小。 这说明离北干渠最近的孔 1 和孔 2, 除总硬度稍高外, 其它成分含量较低, 没有明显的水

质恶化.

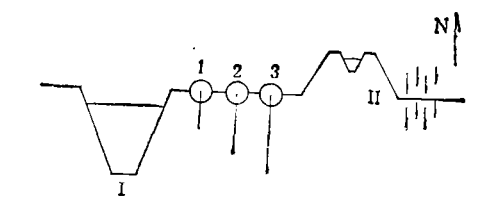


图 5 污渠侧向人渗采样图 观测孔 1[#], 2[#], 3[#] I 通惠北干渠 II 通惠灌渠

表 5 通惠北干渠侧向渗漏的监测

类别			通	惠	北	干	渠	观	测	孔			
编号		比干训	長		ı			2				3	
时间 (h)	2	4	8	2	4	8	2	4	8		2	4	8
VMN,%	10.8	38.8	20.6	18.0	26.2	12.2	32.0	35.4	15.	2	39.8	43.6	15.6
Cl- (mg/L)		121			123			196				160	
SO2- (mg/L)		65			44			23				52	
总硬度 (徳度)	}	19		27		26				41			
HCO_3^- (mg/L)		400		4				527				732	
总离子量 (mg/L)		862			835			966				1251	

总之,在本小区的地质条件下,潜在性污染物主 要随污水垂直入渗过程迁入地下水,而侧向渗漏较 轻。

(二) 上层滞水,潜水和承压水的监测

本小区的地下水属承压水为主的潜水-承压水型. 三者的水位分别为 28.9, 26.5 和 18.6m, 左右. 表 6 的 VMN, %表明, 地下水的垂直区分明显, 上层滞水>潜水>承压水。与 CI、、SOL、 总硬

度、HCO,和M值的倾向一致。但各项指标在平面分布上无明显的规律。因此,潜在危害性污染物随地下水的深度而渐减。其过程可能是随补给水到上层滞水,再直接随补给承入潜水,故其污染程度高于经层间越流入承压水。 承压水的 VMN,%。略大于对照组双蒸水,说明已有轻度的污染,进一步证实在小区内污染物是通过垂直人渗影响地下水水质。

(三) 小区深层和浅层地下水的监测

小区的浅层水是压井水,属上层滞水-潜水(深 20m 以上),现存的井数极少。深层水是机井水,属 承压水 (深 100 m 左右),为饮用和清灌的地下水。 表 7 说明, VMN,‰ 大小的次序是地 面水 > 浅层 水 > 深层水 > 对照水(永乐店除外),反映潜在污染 物在本小区内对江层水已有轻度污染,只在程度上小于浅层水。

表 6 不同地下水水层的监测*

美 别	上层游水	潜 水**	承压水		
样 点	监 2 监 4	监 4 稳定塘多孔杯 稻田多孔杯			
时间(h)	2 4 8 2 4 8	2 4 8 2 4 8	2 4 8		
VMN,%0	19.2 21.2 8.8 20.0 21.6 10.0	13.2 17.6 10.3 18.8 19.6 —	6.0 8.2 11.0		
Cl- (mg/L)	340 (187-531)	218 (76-552)	101(15-240)		
$SO_i^{2-} (mg/L)$	270 (84-453)	115 (11536)	63(6-152)		
总硬度 (德度)	43 (18-55)	35.6(13.9-65.5)	23.6(13.6-40.6)		
$HCO_3^- (mg/L)$	51.3(436 - 590)	584 (227 - 952)	420(281—556)		
M 值 (mg/L)	1690(1096 - 2138)	1294 (639-2020)	792(479—1270)		
酚 (mg/L)	100% (<	0.002-0.012)	77%(未一0.005)		
氰 (mg/L)	100% (0.	004-0.07)	100%(未一0.027)		

^{*} 砷,镉均未检出.

表 7 小区内深层水和浅层水的监测

类别		深	层 水			浅	层 水			地	面 水		对;	照水
样点	旧宫	何家坟	西田阳	永乐店	旧宫	何家坟	西田阳	永乐店	旧宫	何家坟	西田阳	永乐店	香山公园	颐和园南
VMN,%0	8.5	6.0	9.4	5.6	10.8	18.8	10.2	21.8	12.4	20.2	24.8	11.2	4.8	4.4
±SE	0.97	2.04	1.18	0.40	0.47	2.53	1.59	2.24	1.43	2.08	2.64	1.50	1.13	0.86
均值		7	.4			1	5.4			1:	7.2		4	.6

三、小 结

- 1.河渠或坑塘的潜在污染物渗入地下水以垂直迁移为主,侧向渗漏微弱.
- 2.潜在污染物先污染上层滞水,再通过补给水 渗入潜水.受污染的潜水越流污染承压水,因层间 越流很小,故承压水污染很轻,说明地下水有自身保 护作用.
- 3.在地下水体中潜性污染物的行为与水化学总面貌不完全平行。

4.在筛检地下水损害遗传物质 DNA 的潜性污染物上,蚕豆根尖细胞微核率(VMN,‰)是一项可行的综合性生物短期监测指标。

参 考 文 献

- [1] Hwang S. T., Environ. Prog., 5(1), 66(1986).
- [2] 王英彦等,环境科学,5(4),20(1984)。
- [3] 王英彦等,中国环境科学,6(2),19(1986).
- [4] 王英彦等,环境科学与技术, 4,7(1987).

(收稿日期: 1988年3月1日)

^{** 1-5} 多孔杯的均值; 6, 8, 10 观测孔的均值。